

## ДИСТАНЦИОННАЯ ПОЛЯРИЗАЦИОННАЯ НЕЛИНЕЙНАЯ СПЕКТРОСКОПИЯ КОМБИНАЦИОННОГО РАССЕЯНИЯ СВЕТА

А.Ф.Бункин, А.С.Галумян, Д.В.Мальцев

Экспериментально реализован новый метод дистанционной спектроскопии комбинационного рассеяния (КР), в котором уровень сигнала более чем в  $10^6$  раз превосходит уровень сигнала спонтанного КР, расходимость регистрируемого излучения  $2 \cdot 10^{-4}$ . Метод позволяет с больших расстояний изучать колебательные спектры прозрачных сред.

1. В данной работе сообщается об экспериментальной реализации нового вида нелинейной спектроскопии КР света-дистанционной спектроскопии эффекта Керра, индуцированного резонансом КР (ДККР), в которой спектропроточная информация об исследуемой среде содержится в изменениях интенсивности мощной монохроматической когерентной волны, распространяющейся точно в направлении, обратном падающим в среду волнам накачки. При этом, как и в обычной спектроскопии оптического эффекта Керра, наведенного комбинационным резонансом (ОККР)<sup>1,2</sup>, в наших экспериментах регистрировалось изменение поляризации пробной волны частоты  $\omega_1$ , при сканировании разности  $\omega_1 - \omega_2$  частот волн накачки вблизи  $\Omega_R$  – частоты изучаемого резонанса КР.

Отличие от<sup>1,2</sup> заключается в том, что пробная волна возникает в исследуемой среде за счет процесса вынужденного рассеяния Мандельштама – Бриллюэна (ВРМБ) одной из падающих волн (в наших экспериментах это волна  $E_1(\omega_1)$ ), что обеспечивает дистанционность измерений. Однако, в отличие от дистанционного варианта когерентного антитоксона рассеяния света (КАРС) предложенного и реализованного в<sup>3,4</sup>, где геометрия взаимодействия всех волн жестко фиксирована, а углы между векторами составляют десятки градусов, в данном случае волны накачки с волновыми векторами  $K_1, K_2$  могут пересекаться в исследуемой среде под любым углом (в том числе равным нулю), а регистрируемый сигнал  $K_1$  ДККР распространяется в направлении, образующем с  $K_1$  угол  $180^\circ$ . Это позволяет проводить данным методом дистанционные измерения с достаточно больших расстояний, ограничиваемых только необходимостью превышения порога ВРМБ одной из волн накачки в исследуемой среде.

2. Описываемый в данной работе метод ДККР теоретически предложен в нашей работе<sup>5</sup>.

Эксперименты проводились на установке, изображенной на рис. 1. Волны накачки обеспечивались второй гармоникой одночастотного лазера (1) и лазера на красителе (ЛК) родамин 6G (5) ( $\lambda_1 = 532$  нм,  $550 \text{ нм} \leq \lambda_2 \leq 585$  нм, мощности  $P_1 \cong P_2 \cong 1$  МВт,  $\tau_{\text{имп}} = 20$  нс, ширина спектра ЛК  $\Delta\nu_2 \cong 1 \text{ см}^{-1}$ ). Они фокусировались сферическим зеркалом под углом  $\cong 1^\circ$  друг к другу в исследуемую жидкость, наливаемую в открытую кювету (9). Линейная поляризация волны  $E_1$  обострялась кальцитовым клином (6), волна  $E_2$  была линейно поляризованной (угол  $\varphi = 60^\circ$  между ортами поляризации волн  $E_1, E_2$ ), либо циркулярно. Фотоумножитель (11) регистрировал интенсивность деполяризованной части волны  $E_{1\text{вр}}$ , которая отклонялась кальцитовым клином (6) и выделялась от некогерентных засветок системой диафрагм и зеркал. Одновременно в каждом лазерном импульсе фотоумножителями (12) из-

мерялись интенсивности волн  $E_{1\text{BP}}$ ,  $E_2$ . Все сигналы обрабатывались в ЭВМ (17), которая также управляла сканированием частоты ЛК и выводила кривые на графический дисплей (15) и самописец (16).

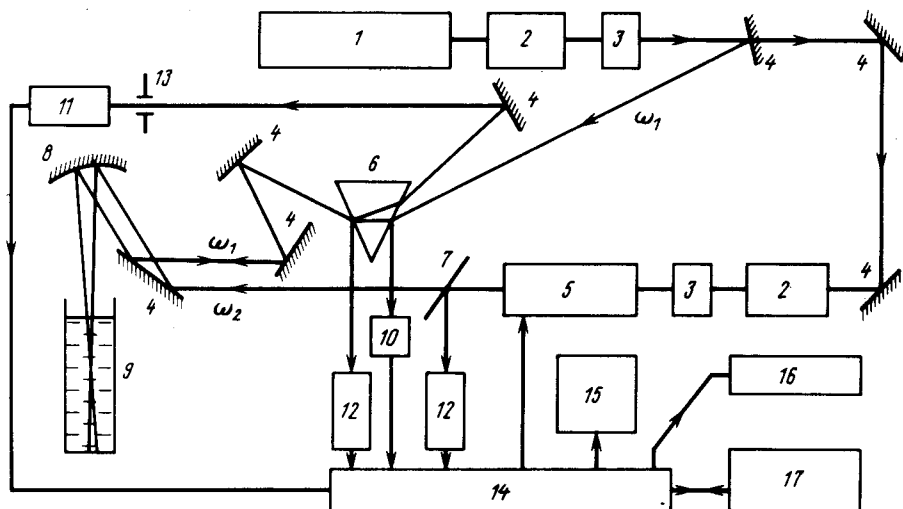


Рис. 1. Схема экспериментальной установки: одночастотный лазер 1 с усилителями 2 на YAG : Nd<sup>3+</sup> (частота повторения импульсов  $f = 10$  Гц), 3 – генераторы второй гармоники на кристалле ДСДА, 5 – лазер на красителе, 6 – кальцитовый клин, 9 – кювета, 11, 12 – ФЭУ-79, 4 – поворотные зеркала, 7 – стеклянная пластинка, 10 – фотодиод (для запуска схемы регистрации), 14 – магистраль КАМАК, 15 – графический дисплей, 16 – самописец, 17 – микро ЭВМ ДВК-2

Измерения проводились в этаноле, ацетоне, дистиллированной и морской водах. Волны  $E_1$ ,  $E_2$  фокусировались внутрь исследуемых жидкостей сквозь открытую поверхность. Волна  $E_{1\text{BP}}$ , распространяющаяся навстречу  $E_1$ , в присутствии  $E_2$  становилась эллиптически поляризованной, причем параметры ее эллиптической поляризации, как и в обычном ОККР<sup>1,2</sup>, зависят от точности настройки  $(\omega_1 - \omega_2)/2\pi c$  на  $\Omega_R$  – частоты КР – активных молекулярных резонансов среды. Кальцитовый клин отклонял деполяризованную часть волны  $E_{1\text{BP}}$ . Во всех случаях фотоумножителем регистрировался интенсивный сигнал частоты  $\omega_1$ , который во избежание повреждений ФЭУ предварительно ослаблялся более чем в  $10^6$  раз. Регистрируемый сигнал полностью исчезал при блокировании волны  $E_2$ , т.е. он возникал в результате четырехфотонного процесса  $\omega_1 = \omega_2 - (\omega_2 - \omega_1)$ . Сигнал ДККР можно было легко наблюдать на листе бумаги, помещенном перед диафрагмой (13), в виде яркого зеленого пятна диаметром  $\cong 4$  мм. При выполнении условия  $(\omega_1 - \omega_2)/2\pi c \cong \Omega_R$  яркость сигнала ДККР, наблюдаемого на бумаге, резко увеличивалась.

3. В случае линейной поляризации волн накачки для интенсивности волны  $E_{1\text{ДККР}}(\omega_1)$ , при условии лоренцевой формы линии КР, можно получить<sup>1,2</sup>:

$$I_{1\text{ДККР}} \sim \left| \frac{2}{3} + \frac{(1-\rho) \bar{\chi}_{1111}^{(3)R} / \chi_{1111}^{(3)NR}}{-i - \Delta} \right|^2 I_2^2 I_{1\text{BP}}, \quad (1)$$

где  $\rho$  – степень деполяризации линии КР,  $\bar{\chi}_{1111}^{(3)R}$  – пиковое значение резонансного вклада в кубическую восприимчивость среды  $\chi_{1111}^{(3)}$ ,  $\chi_{1111}^{(3)NR}$  – нерезонансная часть восприимчивости,  $\Delta = (\omega_1 - \omega_2 - \Omega_R)/\Gamma$ ,  $\Gamma$  – полуширина резонанса КР,  $I_{1\text{BP}}$ ,  $I_2$  – интенсивности волн  $E_{1\text{BP}}$ ,  $E_2$ . В случае циркулярной поляризации волны  $E_2$  имеем<sup>1,2</sup>:

$$I_{1\text{ДККР}} \sim \left| \frac{(1-3\rho) \bar{\chi}_{1111}^{(3)R} / \chi_{1111}^{(3)NR}}{-i - \Delta} \right|^2 I_2^2 I_1 \quad (2)$$

т.е. происходит подавление нерезонансного пьедестала, связанного с  $\chi_{1111}^{(3)NR}$ . На рис. 2 представлены спектры ДККР линии КР этанола с частотой  $\Omega_R/2\pi c = 920 \text{ см}^{-1}$  в случаях линейной поляризации волн накачки (*a*), и циркулярной поляризации волны  $E_2$  (*b*). Видно, что в дистанционной геометрии спектр оптического эффекта Керра, индуцированного КР четко регистрируется, относительная ошибка измерений не превышает 20% (в каждой спектральной точке проводилось накопление сигнала по 50 импульсам), в случае (*b*) происходит существенное подавление  $\chi_{1111}^{(3)NR}$ . Моделируя кривые рис. 2 на ЭВМ, можно оценить спектроскопические параметры линии КР  $920 \text{ см}^{-1}$  этанола (при этом нужно учитывать, что  $\chi_{1111}^{(3)NR}$  для ДККР не совпадает с  $\chi_{1111}^{(3)NR}$  в спектроскопии КАРС из-за вклада в кубическую восприимчивость среды  $\chi_{1111}^{(3)NR}$  медленных ориентационных движений молекул<sup>2)</sup>):  $\bar{\chi}_{1111}^{(3)R}/\chi_{1111}^{(3)NR} = 0,75 \pm 0,1$ ;  $\Gamma = 7 \pm 1 \text{ см}^{-1}$ .

На рис. 3 приведен пример панорамного спектра ДККР этанола в диапазоне  $870 \div 1200 \text{ см}^{-1}$ , стрелками отмечены линии с частотами  $\Omega_R/2\pi c = 920 \text{ см}^{-1}$ ,  $\Omega_R/2\pi c = 1095 \text{ см}^{-1}$ ,  $\Omega_R/2\pi c = 1147 \text{ см}^{-1}$ .

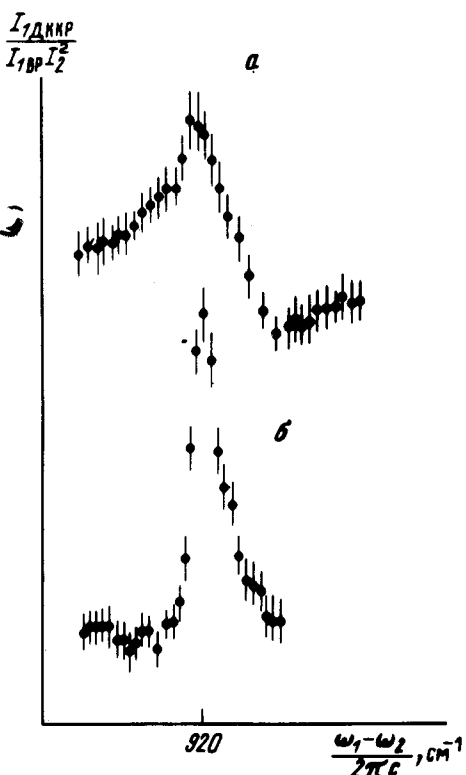


Рис. 2. Спектры ДККР этанола (линия  $\Omega_R/2\pi c = 920 \text{ см}^{-1}$ ): *a* – обе волны накачки линейно поляризованы  $e_1, e_2 = 60^\circ$ , *b* – волна  $E_2 (\omega_2)$  циркулярно поляризована

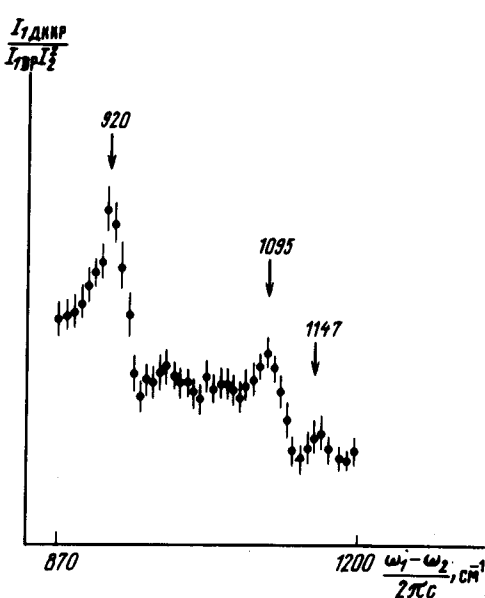


Рис. 3. Панорамный спектр ДККР этанола. Волны накачки линейно поляризованы  $e_1, e_2 = 60^\circ$

Таким образом, экспериментально продемонстрирована возможность осуществления дистанционных измерений методами нелинейной поляризационной спектроскопии КР в коллинеарной геометрии взаимодействующих волн. В этом случае на дистанционные измерения переносятся все хорошо известные преимущества КАРС и других методов четырехфотонной спектроскопии КР: высокий уровень сигнала, высокое спектральное разрешение, отсутствие влияния флуоресценции изучаемой среды (что особенно важно при зондировании природных вод), возможность интерференционного разрешения структуры полос, образованных наложением многих линий КР. Все это открывает широкие перспективы приложений предложенного метода.

## Литература

1. *Heiman D, Hellwarth R.W., Levenson M.D., Martin G.* Phys. Rev. Lett., 1976, 36, 189.
2. *Ахманов С.А., Коротеев Н.И.* Методы нелинейной оптики в спектроскопии рассеяния света. М.: Наука, 1981, с. 544.
3. *Бункин А.Ф., Влацов Д.В., Гараев Р.А.* Квантовая электроника, 1983, 10, 669.
4. *Бункин А.Ф., Влацов Д.В., Гараев Р.А.* Квантовая электроника, 1983, 10, 1902.
5. *Бункин А.Ф., Влацов Д.В., Галумян А.С.* Квантовая электроника, 1985, 12, 619.

Институт общей физики  
Академии наук СССР

Поступила в редакцию  
10 ноября 1985 г.